ВЛИЯНИЕ ПОГЛОЩЕНИЯ ФОТОНОВ НА СПЕКТРАЛЬНОЕ РАСПРЕДЕЛЕНИЕ ИЗЛУЧЕНИЯ КАНАЛИРОВАННЫХ ЧАСТИЦ

В настоящее время проводится ряд экспериментов по изучению свойств излучения от каналированных частиц относительно невысокой энергии $E \sim 1-50~{\rm M}{\scriptstyle 9}{\rm B}$ (см., например, [1, 2]). Квантовомеханическая теория этого излучения приведена в работах [3—5]. В [6] показано, что каналированная частица может рассматриваться как своеобразный аналог релятивистского атома и, следовательно, все особенности, присущие излучению релятивистского осциллятора в среде [7], должны проявляться и в спектре излучения фотонов, генерируемых каналированными частицами. Так, частотная дисперсия среды и поглощение фотонов в кристалле вызывают существенное видоизменение спектра излучения. В настоящем сообщении проведен численный анализ влияния указанных факторов на спектральные и угловые распределения излучения фотонов, генерированных при плоскостном каналировании позитронов.

В дипольном приближении для частиц, каналированных в кристалле толщиной L, спектральное распределение можно записать следующим

образом [5]:

$$\frac{dN_{if}}{d\omega} = L_n(\omega) \left(1 - e^{-\frac{L}{L_n(\omega)}}\right) \frac{dN_{if}}{d\omega},\tag{1}$$

где $L_n\left(\omega\right)$ — длина поглощения фотона частоты ω ; $\frac{dN_{if}}{d\omega}$ — спектральное распределение излучения на единицу длины в непоглощающем кристалле, имеющее следующий вид:

$$\frac{d\widetilde{N}_{if}}{d\omega} = A \left[1 - 2 \frac{\omega}{\omega_{if}^{m}} \left(1 + \frac{\omega_{\kappa p}^{2}}{\omega^{2}} \right) + 2 \left(\frac{\omega}{\omega_{if}^{m}} \right)^{2} \right] H \left(\omega - \omega_{if}^{\min} \right) H \left(\omega_{if}^{m} - \omega \right),$$

$$A = \frac{\alpha |x_{if}|^{2} \Omega_{if}^{2}}{c^{3}}, \tag{2}$$

в котором $lpha=e^2/\hbar c$, $\omega_{if}^m=2\gamma^2\,\Omega_{if}$ и $\omega_{if}^{min}=rac{\omega_{\kappa p}^2}{\omega_{if}^m}$ — максимальная и мини-

мальная частоты излучения соответственно; $\omega_{\mbox{\tiny KP}} = \omega_{\mbox{\tiny Л}} \gamma$, $\gamma = E/mc^2$ — лоренц-фактор; $\omega_{\mbox{\tiny Л}}$ —ленгмюровская частота; x_{if} — матричный элемент координат; Ω_{if} — частота перехода между состояниями i и f в лабораторной системе координат

$$H(x) = \begin{cases} 1, & x \geqslant 0 \\ 0, & x < 0 \end{cases}$$
 (3)

В случае плоскостного каналирования позитронов в центральной области капала межплоскостной потенциал хорошо аппроксимируется параболой. В результате $\Omega_{ij} \approx \Omega = (k/m\gamma)^{1/2}$, где $k = 4\pi e^2 z n/2,72$; z— заряд

ядра; n — число атомов в единице объема.

На рис. 1,2 приведены спектральные распределения фотонов, рассчитанные с помощью (1)—(3). Энергии позитрона $E=50~{\rm MpB}$, 1 Грв. В расчетах использовались длины поглощения $L_n(\omega)$, вычисленные с помощью [8]. Графики на рис. 1 даны в дважды логарифмическом масштабе, причем изображена только мягкая ветвь спектрального распределения фотонов, для которой особенно существенно поглощение. Графики на рис. 2 приведены в полулогарифмическом масштабе.

Согласно рис. 1, 2, поглощение фотонов в мишени наиболее сильно изменяет спектральное распределение излучения каналированных частиц с относительно невысокой энергией ($E = 50 \text{ M} \Rightarrow \text{B}$). С увеличением

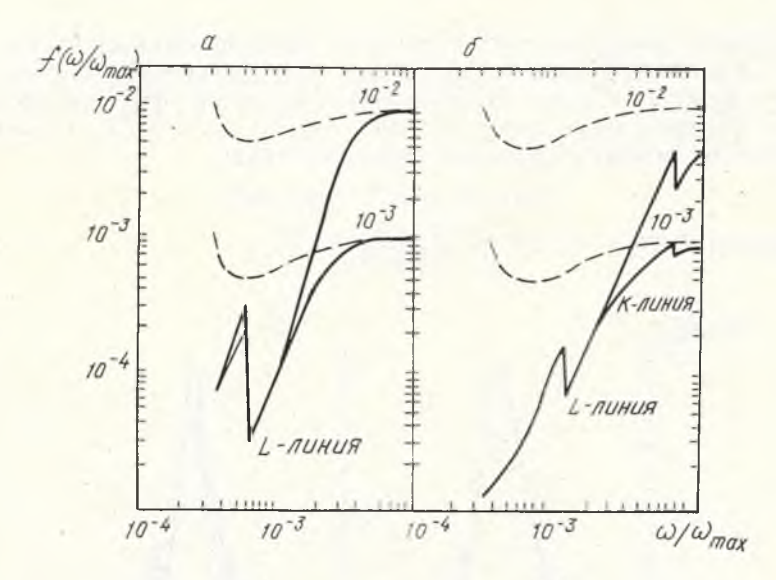


Рис. 1. Спектральное распределение фотонов $\left(f\left(\frac{\omega}{\omega_m}\right) = \frac{dN\omega}{d\omega}\right/A$, отн. ед.), излучаемых позитроном энергии 1 ГэВ в кристаллах кремния (a), вольфрама (b). Цифры на графиках—толщина кристалла, см. Пунктирная кривая — $f\left(\frac{\omega}{\omega_m}\right)$ при $L_n(\omega) = \infty$

толщины кристалла и плотности вещества возрастает и интервал частот, в котором происходит заметное уменьшение интенсивности излучения вследствие поглощения фотонов. Так, для позитронов с энергией 50 МэВ спектр фотонов значительно изменяется во всем интервале излучаемых частот уже при толщине кристалла $L=10^{-2}$ см в вольфраме. В области мягких частот, в которой длина поглощения $L_n(\omega) \ll L$, интенсивность

излучения не зависит от толщины кристалла пропорциональна $L_n(\omega)$ (1)). Необходимо (CM. также отметить, что поглощение подавляет проявление частотной дисперсии среды в спектральном распределении фотонов. Например, для позитронов с энергией 1 ГэВ влияние дисперсии среды на спектр излучения полностью «замазывается» поглощением (см. рис. 1, 2).

Резкие провалы в спектральных распределениях, изображенных на рис. 1, 2, обусловлены совпадением частоты излучаемых фотонов с частотами атомных переходов (К- и L-линии поглощения).

Поглощение фотонов в среде не только изменяет

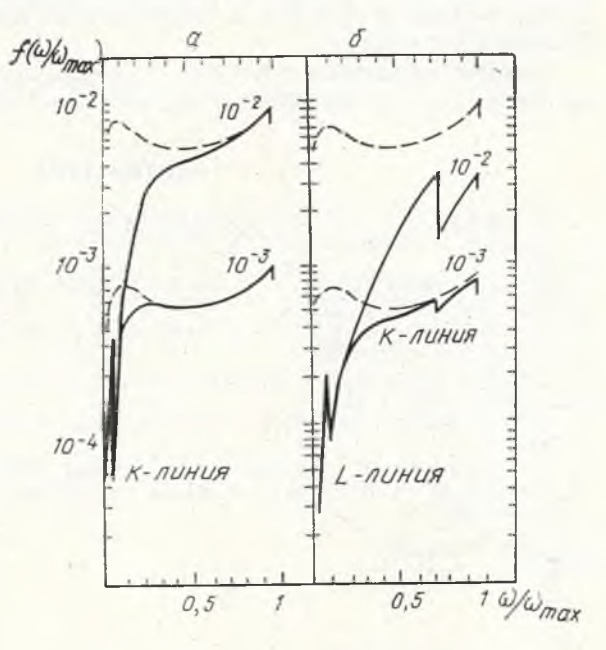


Рис. 2. То же, что на рис. 1, при энергии позитронов 50 МэВ

спектральное распределение излучения каналированных частиц, но и влияет на угловое распределение вследствие зависимости частоты испускаемого фотона от угла излучения, обусловленной эффектом Допплера. Угловое распределение фотонов, для которых $L_n(\omega) \ll L$, в дипольном приближении можно записать в следующем виде:

$$dN_{\theta} = AL_{n}(\omega) F(\Theta) \sin \Theta d\Theta, \tag{4}$$
 где функция $F(\Theta) = \frac{(1 - \beta \cos \Theta)^{2} + (\beta - \cos \Theta)^{2}}{(1 - \beta \cos \Theta)^{4}}.$

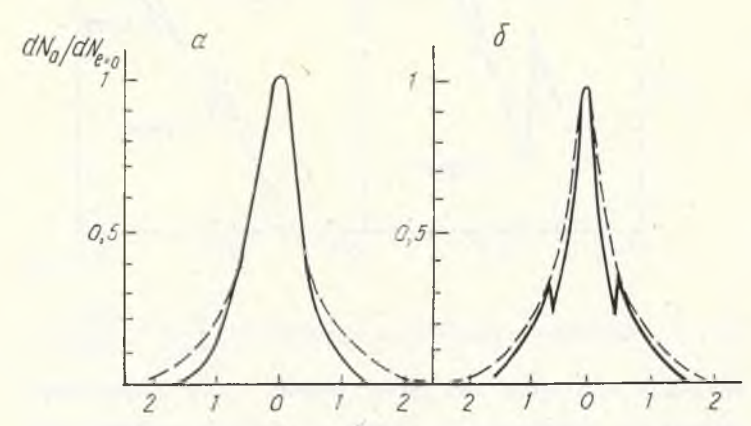


Рис. 3. Угловые распределения фотонов (отн. ед.), излучаемых при каналировании позитронов энергией 50 МэВ, в кристаллах германия (а), фольфрама (б), L=0,01 см

Угловые распределения dN_{θ} , рассчитанные с помощью (4), изображены на рис. 3. Как видно из графиков, поглощение фотонов приводит к зарезанию «крыльев» углового распределения, так как согласно (4) излучение сосредоточено в области малых углов $\Theta \leqslant 1/\gamma$, при которых излучаются жесткие γ -кванты.

Таким образом, проведенный анализ показывает, что поглощение фотонов в кристалле приводит к существенному изменению спектрального распределения излучения, а также влияет на угловое распределение фотонов мягких частот.

Авторы выражают глубокую благодарность профессору В. Г. Барышевскому за постановку задачи, полезные обсуждения и замечания.

ЛИТЕРАТУРА

- Andersen J. U. and Laegsgaard E.— Phys. Rev. Lett., 1980, v. 44, p. 1079.
 Cue N., Bonderup E., Marsh B. B. et all.— Phys. Lett., 1980, v. 80A, p. 26.
- 3. Baryshevsky V. G., Grubich A. O., Dubovskaya I. Ya.—Phys. stat. sol. (b), 1977, v. 82, p. 403.
- 4. Baryshevsky V. G., Grubich A. O., Dubovskaya I. Ya.— Phys. stat. sol. (b), 1978, v. 88, p. 351.
- 5. Baryshevsky V. G., Grubich A. O., Dubovskaya I. Ya.— Phys. stat. Lett., 1980, v. 77A, p. 61.
- 6. Барышевский В. Г., Дубовская И. Я.— Докл. АН СССР, 1976, т. 31, с. 1335.
 - 7. Франк И. М.— Изв. АН СССР. Сер. физ., 1942, т. 6, с. 3.
- 8. Немец О. Р., Гофман Ю. В. Справочник по ядерной физике.— Киев, 1975, с. 227, 236, 261.

Поступила в редакцию 03.03.81.

Кафедра ядерной физики